

京都大学工学部 正員 〇深川 良一
 京都大学工学部 正員 島 昭治郎
 A. I. T. 正員 太田 繁樹

1. はじめに 有限要素法を用いて試験盛土基礎地盤の変形解析を行い、実測値と解析値の比較を行った。一部のパラメータは K_0 圧密の可能な特殊三軸装置¹⁾を用いて決定するが、パラメータの決定には注意を払った。解析結果は実測値と比較的良好な一致を示した。

2. 解析対象地盤 解析は道央自動車道札幌～岩見沢間環状試験盛土地盤を対象として行った。図-1に基礎地盤の断面図と測定に用いられた機器の一部を示している²⁾。基礎地盤はポット、腐植物混り粘土、シルト質粘土、シルト質砂、粘土、砂より砂り、20m以下の砂層はN値が4以上³⁾の硬い砂層であったため支持地盤とした。

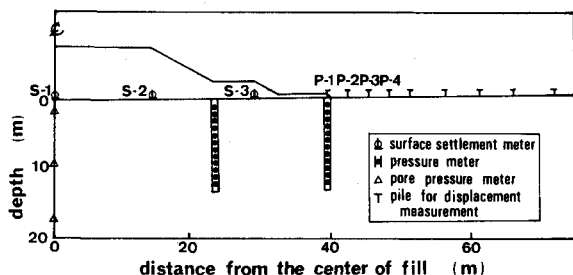


Fig.1 Crosssection of fill

3. 解析方法 解析には主応力軸の回転による異方性を考慮した弾塑性構成式に圧密を考慮した有限要素プログラム⁵⁾の一部修正したものをを用いている。解析にあたっては平面応ひ条件を仮定し、かつ問題の対称性を考慮して、図-2のような有限要素近似を行った。節点の拘束条件としては、底面の節点は完全固定、両側面は鉛直方向のみ変位可能、他節点は自由節点である。図-3には計算に用いた盛土工程を示したが、なるべく実際の工程を追従するように30段階に分け、各々対応する地表面節点毎に分割し、それらの節点への鉛直荷重として作用させた。

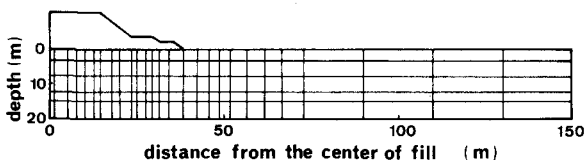


Fig.2 Finite element idealization

4. 土質パラメータの決定 解析に用いたパラメータを表-1に示す。表中添字の0は先行圧密状態を、

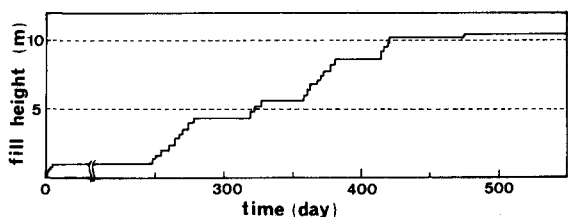


Fig.3 Embanking work

Tab.1 Parameters used in calculation

| type of soil | depth (m) | λ | κ | D | ν | K_0 | K_{01} | $\sigma'_{v0,2}$ (kN/m ²) | $\sigma'_{v1,2}$ (kN/m ²) | e_0 | e_1 | k (m/day) |
|----------------|-----------|-----------|----------|--------|-------|-------|----------|---------------------------------------|---------------------------------------|-------|-------|----------------------|
| peat | 0- 3.5 | 1.73 | 0.17 | 0.062 | 0.33 | 0.40 | 1.32 | 15.19 | 0.88 | 3.33 | 8.81 | 8.4×10^{-2} |
| clay with peat | 3.5- 8.0 | 0.35 | 0.076 | 0.061 | 0.33 | 0.44 | 1.08 | 71.54 | 8.50 | 2.22 | 2.38 | 7.8×10^{-3} |
| silty clay | 8.0-12.5 | 0.29 | 0.042 | 0.070 | 0.33 | 0.42 | 0.74 | 69.09 | 28.75 | 1.71 | 1.75 | 1.7×10^{-3} |
| silty sand | 12.5-15.0 | 0.02 | 0.009 | 0.0056 | 0.33 | 0.50 | 0.55 | 5225.0 | 52.25 | 0.87 | 0.91 | 10.0 |
| clay | 15.0-20.0 | 0.30 | 0.043 | 0.150 | 0.33 | 0.47 | 1.52 | 499.8 | 82.25 | 0.56 | 0.63 | 2.9×10^{-5} |

添字は初期状態を表す。λ, υは各々0.434C_c, 0.434C_sとある。λはまず特殊K₀三軸装置⁷⁾によって境界状態係数Mを求め、藤部の式⁶⁾ $1 - \gamma_{Cc} = M / (1 + e_0)$ を利用して決定する。ダイレイタンシー係数D⁸⁾は $D = (\lambda - \nu) / (M(1 + e_0))$ という関係式を用いて決定する。正規圧密時の静止土圧係数K₀もMと同様に特殊K₀三軸装置によって求めた。K₀CU試験結果の1例を図4に示す。粘性土の場合、K₀圧密終了後、ひずみを段階的に与え各段階2時間放置するひずみ制御レラクゼーション方式でせん断を行った。シルト質砂に関するデータは文献⁸⁾に依った。なお図4中のプロットは全て2時間後のものとする。過圧密時の静止土圧係数K₀は、実験により求めた正規圧密時のK₀値と塑性指数I_pより成るAlpan⁹⁾の式を用いて決定した。シルト質砂についてはK₀, K₀ととも決定は困難と考えられるから、各々0.5, 0.55という適当な値を用い、またシルト質砂層のO.C.R.は100という大きな値を取り、弾性域の拡大を図っている。

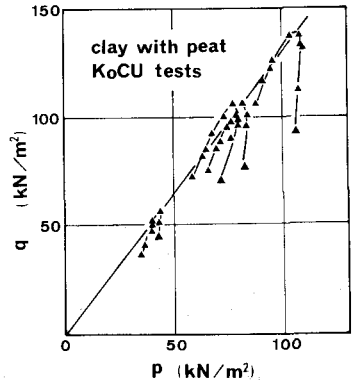


Fig.4 Stress path

5. 解析結果 図-5に盛土法底部鉛直断面(変位坑P-1を含む鉛直断面)の側方変位の経時変化を示す。計算値と実測値とが比較的良く一致するこがわかる。なおこの実測値は傾斜計によるものであって、計算値も深さ15mにおける値を基準としている。図-6には盛土底面(図-1の地表面次下針S-1, S-2, S-3)次下量、および盛土周辺部地表面(図-1のP-1~P-4)側方変位の経時変化を示した。この場合にP-1を除けば計算値と実測値とが比較的良く一致している。法底付近(特に浅い地盤)での計算値と実測値とのgapは、ポート層の土質パラメータ決定(特にK₀, K₀値)の困難さに起因するものと思われる。

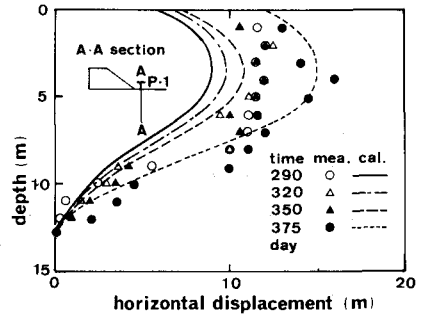


Fig.5 Horizontal displacement at the toe of fill

6. おわりに 筆者らは従来から盛土の変形解析を行ってきたが、境界条件等が不明確でなく、また土質パラメータが適切に決定されないため、盛土基礎地盤の変形予測は多少程度可能であると考えられる。

7. 謝辞 本発表をまとめるにあたり、貴重なデータの提供を頂きました日本道路公団札幌建設局札幌工事事務所、知田克二、高橋朋知氏に深甚の謝意を表します。

8. 参考文献 1) Ohta et al.(1981), 10th ICSMFE, Vol.2, pp533-536. 2) 道路公団 盛土・地盤改良工事仕組 帯広地区に関する現況報告書(1981) 3) SEKIGUCHI, H. and OHTA, H.(1977), Proc. Speciality Session 9, 9th Int. Conf. Soil Mech. Found. Engrg., Tokyo, pp229-238. 4) CHRISTIAN, J.T.(1968), Proc.A.S.C.E., SM 6, pp1333-1345. CHRISTIAN, J.T. and BOEHMER, J.W.(1970), Proc. A.S.C.E., SM4, pp1435-1457. 5) 築地・豊洲(1971)の盛土研究報告書, 第1巻 6) 豊洲(1975)の盛土研究報告書, 第2巻 7) 築地・豊洲(1975)の盛土研究報告書, 第3巻 8) 築地・豊洲(1975)の盛土研究報告書, 第4巻 9) Alpan, I.(1967), S&F, Vol.7, No.1, pp31-40.

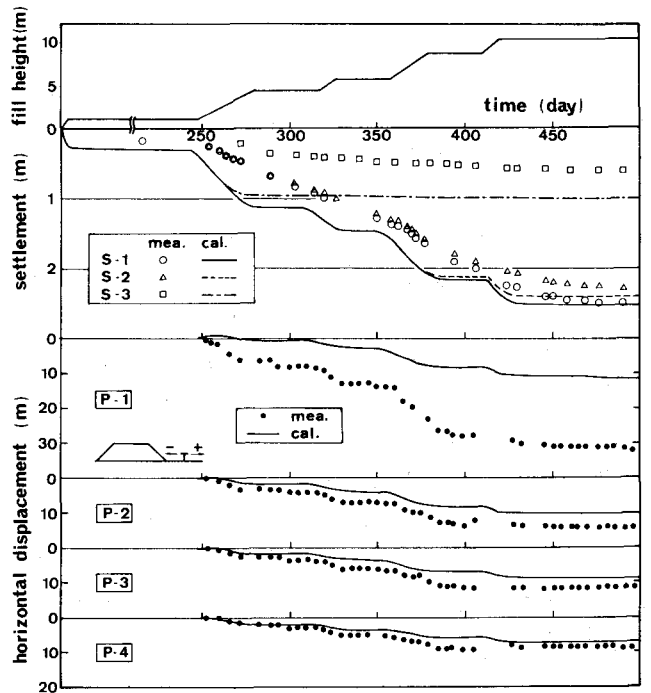


Fig.6 Displacement-time relations